

УДК 539.4

СВЯЗАННАЯ ТЕРМОУПРУГОСТЬ ГЕМИТРОПНЫХ СРЕД. ПСЕВДОТЕНЗОРНАЯ ФОРМУЛИРОВКА

© 2023 г. Е. В. Мурашкин^{“*”}, Ю. Н. Радаев^{“**”}

^aИнститут проблем механики им. А.Ю. Ишлинского РАН, Москва, Россия

*e-mail: evmurashev@gmail.com

**e-mail: radaev@ipmnet.ru

Поступила в редакцию 15.01.2023 г.

После доработки 22.01.2023 г.

Принята к публикации 23.01.2023 г.

В статье рассматривается проблема вывода определяющих уравнений для микрополярного термоупругого континуума GN-I в специфике стандартного псевдотензорного формализма. Псевдотензорный подход в большинстве случаев оправдан при моделировании гемитропных микрополярных тел, термомеханические свойства которых чувствительны к зеркальным отражениям трехмерного пространства. Приводятся минимально необходимые для понимания сведения из теории псевдотензоров. Привлекаются общие термодинамические подходы, обсуждаются уравнения баланса энтропии и различные формы баланса внутренней и свободной энергии Гельмгольца. Устанавливаются веса основных термомеханических псевдотензоров. В линейном приближении выводятся определяющие уравнения гемитропного микрополярного термоупругого континуума (GN-I) первого типа. В линейном приближении получена связанная система дифференциальных уравнений теплопроводности и динамических уравнений микрополярного термоупругого континуума GN-I.

Ключевые слова: псевдотензор, термодинамический потенциал, связанная термоупругость, теплопроводность, микроповорот, перемещение, микрополярный гемитропный континуум

DOI: 10.31857/S0572329922600876, **EDN:** JMQVBJ

1. Введение. Изучение термомеханических свойств современных конструкционных материалов и метаматериалов [1–6] оказывается возможным в результате синтеза аппарата современной термодинамики [7–9] и микроструктурных представлений [10–12]. Большинство биоматериалов и метаматериалов с точки зрения их термомеханических свойств чувствительны к преобразованиям, изменяющим ориентацию пространства¹, например, зеркальным отражениям и инверсиям пространства². Однако, следует понимать, что определяющие тензоры и определяющие постоянные линейных изотропных микрополярных сред не проявляют чувствительность к указанным преобразованиям. Наиболее простой моделью, с определяющими псевдоскалярами, чувствительными к упомянутым преобразованиям пространства, оказывается гемитропная микрополярная среда, задающаяся девятью определяющими псевдоскалярами.

¹ Мы считаем, что ориентация трехмерного пространства задается с помощью знака фундаментального ориентирующего псевдоскаляра sgn . [13, 14].

² Под инверсией трехмерного пространства мы подразумеваем преобразование координатного репера, со-поставляющее координатам их противоположные значения.

Термодинамические процессы, протекающие в термодинамических системах, с точки зрения математической модели определяются эволюцией параметров состояния³, составляющих термодинамический базис. Термодинамические процессы можно условно разделить на равновесные и неравновесные. Равновесным называется такой термодинамический процесс, при котором все состояния, через которые последовательно эволюционирует система, с достаточной степенью точности являются равновесными состояниями, т.е. когда все термодинамические характеристики чрезвычайно близки к своим средним значениям⁴. К таким процессам можно отнести медленно протекающие процессы, когда время релаксации достаточно мало, по сравнению с характерным временем перехода между двумя соседними равновесными состояниями. В этом случае процессы чаще всего рассматриваются как квазистатические, поскольку для динамических процессов высказанные условия в большинстве случаев нарушаются.

Кроме того, термодинамические процессы, можно разделить на обратимые и необратимые. Обратимым называется такой термодинамический процесс, для любых двух состояний которого фактически реализуются термодинамические процессы как в прямом, так и в обратном направлениях. Поясним сказанное на двух простых примерах. Рассмотрим в качестве примера модель атермической деформации цилиндрического упругопластического образца до и за пределом упругости (см. рис. 1). При значениях силовой нагрузки, ниже предела упругости σ_E , что на рисунке соответствует точкам кривой между состояниями 1 и 2, термодинамический процесс будет обратимым и разгрузка образца вернет процесс к начальному состоянию 1 [17]. При нагружении образца выше предела текучести (состояния 3 и 4) образец начнет проявлять неупругие свойства и процесс разгрузки пойдет по пути 4–5, а не вернется в состояние 1 по траектории 4 – 3 – 2 – 1, что означает необратимость процесса 1–4. В термодинамически необратимых процессах наблюдается неконтролируемое (неуправляемое, самопроизвольное) производство энтропии (uncontrollable entropy production).

Для описания состояния термодинамической системы используются функции, функционально зависящие от базиса термодинамических переменных (параметров состояния: энтропия, деформация, температура), и термодинамические потенциалы состояния (внутренняя энергия, свободная энергия Гельмгольца и другие энергетические формы).

Термодинамический подход к исследованию процессов деформирования микрополярных материалов использовался, например, в работах [10–12] и работах авторов [6, 18, 19], где проводится построение определяющих уравнений для упругих микрополярных материалов в терминах абсолютных тензоров. Однако, построение определяющих уравнений и термодинамических потенциалов для гемитропных микрополярных термоупругих сред на корректной основе требует привлечения аппарата алгебры псевдотензоров (см., например, [14, 20, 21]).

В настоящей работе обсуждаются вопросы вывода определяющих соотношений для микрополярного термоупругого континуума GN-I в терминах псевдотензоров. Приводятся (правда, в минимальной степени) основные понятия алгебры и анализа псевдотензоров [22–28]. Обсуждаются уравнения баланса энтропии и различные формы баланса внутренней и свободной энергии Гельмгольца. Вычисляются веса основных термомеханических величин. В линейном приближении выводятся определяющие уравнения гемитропного микрополярного связанныго термоупругого континуума GN-I.

2. Псевдотензоры в трехмерном евклидовом пространстве. Рассмотрим трехмерное евклидово пространство⁵. Выберем в пространстве криволинейную систему коорди-

³ В книге Л.И. Седова [15] упомянутые параметры обозначены через μ_i .

⁴ Данные представления характерны для курса “Теоретической физики” Л.Д. Ландау, Е.М. Лифшица [16].
⁵ Трехмерность пространства существенна для всех дальнейших рассуждений.

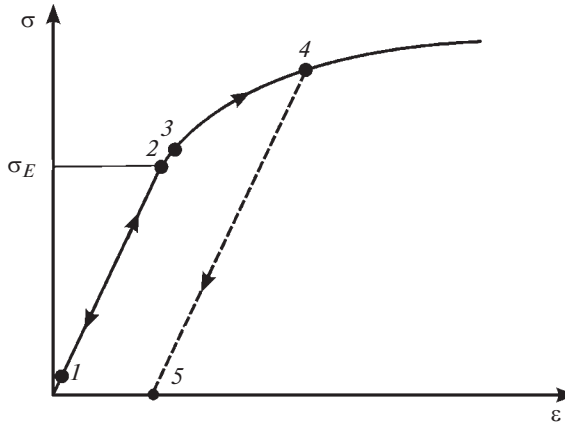


Рис. 1. Одноосное растяжение образца за предел текучести.

нат x^k ($k = 1, 2, 3$). Метрика пространства задается квадратом линейного элемента длины согласно

$$ds^2 = g_{ij} dx^i dx^j \quad (2.1)$$

где g_{ij} — компоненты метрического тензора. Компоненты фундаментального тензора g^{ij} связаны с метрическим тензором соотношением

$$g^{ij} g_{jk} = \delta_k^i \quad (2.2)$$

И метрический, и фундаментальный тензоры являются абсолютными (истинными) тензорами. То же самое относится к символу Кронекера δ_k^i .

Введем в рассмотрение локальные базисные триэдры, связанные с выбранной координатной системой в трехмерном пространстве: \mathbf{z}_a ($a = 1, 2, 3$) — локальный ковариантный базис; \mathbf{z}_b ($b = 1, 2, 3$) — локальный контравариантный (взаимный) базис.

Базисные векторы и взаимные базисные векторы удовлетворяют следующему соотношению:

$$\mathbf{z}_a \cdot \mathbf{z}_b = \delta_a^b \quad (a = 1, 2, 3; b = 1, 2, 3)$$

Метаиндексы a и b (в отличие от тензорных индексов) записываются шрифтом “fraktur”.

С ориентацией локальных базисов связан фундаментальный объект псевдотензорной алгебры и многомерной геометрии — символы перестановок [23–25], которые не являются абсолютными тензорами и определяются согласно соотношениям:

$$\epsilon_{ijk} = \epsilon^{ijk} = \begin{cases} +1, & \text{для троек } (1, 2, 3), (2, 3, 1), (3, 1, 2) \\ -1, & \text{для троек } (3, 2, 1), (1, 3, 2), (2, 1, 3) \\ -0, & \text{во всех остальных случаях} \end{cases} \quad (2.3)$$

Заметим, что ϵ -символы нарушают основные привилегии тензорного формализма, что видно уже по (2.3). Символы перестановок ϵ_{ijk} и ϵ^{ijk} являются относительными ковариантными тензорами (псевдотензорами) веса -1 (w.g.t. $= -1$) и одновременно — от-

носительными контравариантными тензорами веса +1 (w.g.t. = +1), поэтому было бы корректно использовать для них следующие обозначения:

$$\epsilon_{ijk}^{[-1]} \quad \epsilon_{ijk}^{[+1]}$$

Далее сверху корневого символа относительного тензора в квадратных скобках будем отмечать его вес. Нулевой вес, присущий абсолютным тензорам, не отражается нами в обозначениях.

Введем в рассмотрение ориентирующий трехмерное пространство псевдоскаляр (относительный скаляр веса +1 (w.g.t. = +1)), представляющий собой смешанное произведение базисных векторов:

$$e = e^{[+1]} = (\mathbf{i}_1 \times \mathbf{i}_2) \cdot \mathbf{i}_3 \quad (2.4)$$

и относительный скаляр отрицательного веса -1 (w.g.t. = -1):

$$\frac{1}{e} = e^{[-1]} = (\mathbf{i}_1 \times \mathbf{i}_2) \cdot \mathbf{i}_3 \quad (2.5)$$

Обратим внимание, что псевдоскаляр (2.4) с точностью до знака совпадает с объемом параллелепипеда, построенного на базисных векторах $\mathbf{i}_1, \mathbf{i}_2, \mathbf{i}_3$. Нетрудно показать, что в евклидовом пространстве справедливо равенство

$$e^2 = g > 0 \quad (2.6)$$

где g – детерминант метрического тензора. Условие $g = 1$ ($|e| = 1$) является фундаментальным для развития общей теории относительности [29] и, например, математической теории пластичности [30]. Важно отметить, что в этом случае абсолютные тензоры совпадают с псевдотензорами с точностью до знака, учитывая уравнение (2.8) получим

$$T_{\dots k_1 k_2 \dots k_r}^{h_1 h_2 \dots h_s \dots} = (\text{sgn} e)^{-g} T_{\dots k_1 k_2 \dots k_r}^{h_1 h_2 \dots h_s \dots} \quad (2.7)$$

Откуда следует, что псевдотензоры меняют свой знак на противоположный при изменении ориентации координатного репера если их вес нечетный. Подчеркнем, что $e > 0$ для правоориентированной координатной системы, $e < 0$ для левоориентированной координатной системы.

Псевдотензор $T_{(n)}^{h_1 h_2 \dots h_s \dots}$ веса g ранга $n = s + r$ с помощью степеней фундаментального ориентирующего псевдоскаляра можно преобразовать к абсолютному тензору того же ранга согласно

$$T_{(n)}^{h_1 h_2 \dots h_s \dots} = e^{-g} T_{(n)}^{h_1 h_2 \dots h_s \dots} \quad (2.8)$$

В дальнейшем изложении у фундаментальных символов, таких как e и g , указание на их вес будем опускать.

Ковариантная производная псевдотензорного поля $T_{(n)}^{h_1 h_2 \dots h_s \dots}$ была введена О. Вебленом [26, 27] и вычисляется согласно [14, 24]:

$$\nabla_p \overset{[g]}{T}_{(n) \dots k_1 k_2 \dots k_r}^{h_1 h_2 \dots h_s \dots} = \partial_p \overset{[g]}{T}_{(n) \dots k_1 k_2 \dots k_r}^{h_1 h_2 \dots h_s \dots} + \Gamma_{qp}^{h_1} \overset{[g]}{T}_{(n) \dots k_1 k_2 \dots k_r}^{q h_2 \dots h_s \dots} + \dots + \Gamma_{qp}^{h_s} \overset{[g]}{T}_{(n) \dots k_1 k_2 \dots k_r}^{h_1 h_2 \dots q \dots} - \Gamma_{k_1 p}^q \overset{[g]}{T}_{(n) \dots q k_2 \dots k_r}^{h_1 h_2 \dots h_s \dots} - \dots - \Gamma_{k_r p}^q \overset{[g]}{T}_{(n) \dots k_1 k_2 \dots q}^{h_1 h_2 \dots h_s \dots} - g \overset{[g]}{T}_{(n) \dots k_1 k_2 \dots k_r}^{h_1 h_2 \dots h_s \dots} \Gamma_{qp}^q \quad (2.9)$$

В частности, для псевдоскаляра ковариантная производная, независимо от веса g , примет вид

$$\nabla_p \overset{[g]}{T} = \partial_p \overset{[g]}{T} - g T \overset{[g]}{\Gamma}_{sp} \quad (2.10)$$

где

$$\overset{[g]}{\Gamma}_{sp} = \frac{\partial_p e}{e}$$

Учитывая свойства символов Кристоффеля $\overset{[g]}{\Gamma}_{sp}$ и соотношение (2.6), получим выражение для ковариантной производной (2.10)

$$\nabla_p \overset{[g]}{T} = \partial_p \overset{[g]}{T} - e^{-1} g T \partial_p e \quad (2.11)$$

Однако, существуют альтернативные подходы реализации ковариантного дифференцирования псевдотензора. Определим ковариантную производную псевдотензора произвольного ранга и целого веса g с помощью соотношения:

$$\nabla_p \overset{[g]}{T}_{(n) \dots k_1 k_2 \dots k_r}^{h_1 h_2 \dots h_s \dots} = e^g \nabla_p (e^{-g} \overset{[g]}{T}_{(n) \dots k_1 k_2 \dots k_r}^{h_1 h_2 \dots h_s \dots}) \quad (2.12)$$

Кроме того, реализовать ковариантное дифференцирование псевдотензора с целым положительным весом ($g > 0$) можно с помощью символов перестановок согласно правилу⁶

$$\begin{aligned} \nabla_p \overset{[g]}{T}_{(n) \dots k_1 k_2 \dots k_r}^{h_1 h_2 \dots h_s \dots} &= (N!)^{-g} \underbrace{\epsilon_{k_{r+1} \dots k_{r+N} \dots}^{[+]}}_g \underbrace{\epsilon_{k_{r+(g-1)N+1} \dots k_{r+Ng}}^{[+]}}_g \times \\ &\times \nabla_p \overset{[g]}{T}_{(n) \dots k_1 k_2 \dots k_r}^{h_1 h_2 \dots h_s \dots} \underbrace{\epsilon_{k_{r+1} \dots k_{r+N} \dots}^{[-]}}_g \underbrace{\epsilon_{k_{r+(g-1)N+1} \dots k_{r+Ng}}^{[-]}}_g \end{aligned} \quad (2.13)$$

Все три вида реализации ковариантной производной (2.9), (2.12) и (2.13) являются эквивалентными, что было продемонстрировано в работе [31].

3. Термодинамические потенциалы состояния для гемитропных микрополярных термоупругих сред GN-I. Введем в рассмотрение внутреннюю энергию u в расчете на единицу массы. Понятие внутренней энергии, как физической величины, характеризующей элементарную термодинамическую систему, подробно обсуждается в классической монографии [16, С. 25–28]. Стандартное статистическое определение внутренней энергии элементарной термодинамической системы можно найти там же [16, с. 103–105]. В статистической физике во внутреннюю энергию системы включают энергию разных видов движения и взаимодействия входящих в систему частей: энергию поступательного, вращательного и колебательного движений атомов и молекул, энергию внутри- и межмолекулярного взаимодействия, энергию электронных оболочек атомов и др. В этом случае внутренняя энергия трактуется как физическая величина.

Помимо трактовки u как физической величины, связанной с элементарной термодинамической системой, в механике континуума ее приходится рассматривать как непрерывное физическое поле (physical field), поскольку континуум является объедине-

⁶ Антологичное правило справедливо, если целый вес отрицателен, т.е. $g < 0$.

нием элементарных термодинамических систем. В механике континуума значение u как физической величины не представляет интереса ни в теоретическом, ни в прикладном плане. Подлинный интерес представляет трактовка внутренней энергии как термодинамического потенциала состояния, т.е. как однозначной, непрерывной и ограниченной снизу функции базиса термодинамических переменных (параметров состояния). Чертой сверху будем в дальнейшем обозначать потенциалы состояния. Например \bar{u} означает, что внутренняя энергия u рассматривается как термодинамический потенциал состояния, зависящий от некоторого конечного набора базисных термодинамических переменных (параметров состояния). В термомеханике микрополярных континуумов имеем:

- s – энтропия в расчете на единицу массы (абсолютный скаляр);
- $\epsilon_{ij} = \nabla_i u_j - \epsilon_{ijk} \phi^{[+1]}_k$ – асимметричный тензор деформации;
- $\kappa^{[+1]}_i = \nabla_i \phi^{[+1]}$ – псевдотензор деформации изгиба–кручения.

Поворот ϕ^j может трактоваться двояко: либо как ковариантный псевдовектор отрицательного веса $\phi^{[-1]}_j$, либо как контравариантный псевдовектор положительного веса $\phi^{[+1]}_j$. В настоящей работе в качестве псевдовектора поворота мы будем использовать контравариантный псевдовектор положительного веса $\phi^{[+1]}_j$. Перечисленные выше переменные мы считаем образующими термодинамический базис в случае микрополярного термоупругого континуума GN-I.

Все сказанное выше можно выразить следующим уравнением:

$$u = \bar{u}(s, \epsilon_{ij}, \kappa^{[+1]}_i) \quad (3.1)$$

Фундаментальным утверждением (3.1) постулируется равенство физического значения внутренней энергии u (абсолютного скаляра, не зависящего от зеркальных отражений и инверсий трехмерного пространства) и значения функциональной зависимости \bar{u} .

Сопряженной к энтропии величиной в термодинамике выступает термодинамическая температура (абсолютная температура). Термодинамическая температура может вводиться статистически, как модуль канонического распределения Гиббса [16, с. 104–105]. В термомеханике континуума абсолютная температура θ (абсолютный скаляр) определяется как функция параметров термодинамического состояния и вычисляется как частная производная потенциальной функции (3.1) по энтропии s , т.е.

$$\theta = \frac{\partial \bar{u}(s, \epsilon_{ij}, \kappa^{[+1]}_i)}{\partial s} \quad (3.2)$$

Формула (3.2) наглядно демонстрирует отличие u от \bar{u} . В работах некоторых авторов [8, 7] приоритет отдается обратной к температуре величине $\frac{1}{\theta}$ – холдности (coldness).

Уравнение баланса внутренней энергии для линейных микрополярных теорий, как хорошо известно, имеет следующий вид

$$\rho \partial_u = t^{ij} \partial_i \epsilon_{ij} + \mu^{[-1]}_i \partial_i \kappa^{[+1]}_i + \rho q - \nabla_i h^i \quad (3.3)$$

Здесь ∂_t — производная по времени при фиксированных координатах x^k , t^{ik} — тензор силовых напряжений, ρ — массовая плотность (абсолютный скаляр), $\mu_{\cdot k}^{[-1]}$ — псевдотензор моментных напряжений, q — лучистое тепло (абсолютный скаляр), h^i — абсолютный вектор потока тепла. В приближении малых деформаций мы считаем $\dot{a} = \partial_t a$.

В конвенциональном виде уравнение баланса энтропии примем

$$\rho \dot{s} = -\nabla_j J^j + \rho \sigma + \rho \xi \quad (3.4)$$

где J^j — абсолютный вектор потока энтропии, ξ — неконтролируемое производство энтропии⁷ (в единицу времени в расчете на единицу массы), σ — контролируемое производство энтропии (в единицу времени в расчете на единицу массы). Отметим, что ξ и σ являются абсолютными скалярами.

В термомеханике широко используется еще один термодинамический потенциал — свободная энергия Гельмгольца. Минуя статистический смысл свободной энергии, приписывая ей отрицательный знак, введем с помощью преобразования Лежандра внутренней энергии

$$-\bar{\Psi}(\theta, \epsilon_{ij}, \kappa_{\cdot i}^{[+1]}) = \theta s - \bar{u}(s, \epsilon_{ij}, \kappa_{\cdot i}^{[+1]}), \quad \theta = \frac{\partial \bar{u}}{\partial s} \quad (3.5)$$

Преобразование Лежандра и его основные свойства подробно обсуждаются в монографии [30, с. 155–157].

На основания инволютивности преобразования Лежандра, получим

$$\bar{u}(s, \epsilon_{ij}, \kappa_{\cdot i}^{[+1]}) = \theta s - (-\bar{\Psi}(\theta, \epsilon_{ij}, \kappa_{\cdot i}^{[+1]})), \quad s = -\frac{\partial \bar{\Psi}}{\partial \theta} \quad (3.6)$$

откуда следует

$$s = \bar{s}(\theta, \epsilon_{ij}, \kappa_{\cdot i}^{[+1]}), \quad \bar{s} = -\frac{\partial \bar{\Psi}}{\partial \theta} \quad (3.7)$$

4. Определяющие уравнения гемитропного микрополярного термоупругого континуума GN-I. Уравнение баланса свободной энергии можно получить подстановкой соотношений (3.4) и (3.5) в уравнение (3.3). В результате несложных преобразований получим

$$-\rho(\partial_t \psi + s \partial_t \theta) + t^{ij} \partial_i \epsilon_{ij} + \mu_{\cdot k}^{[-1]} \partial_{\cdot k} \kappa_{\cdot i}^{[+1]} - J^j \nabla_j \theta + \nabla_j (\theta J^j - h^j) + \rho(q - \sigma \theta) = \rho \xi \theta \quad (4.1)$$

В предположении

$$\theta J^j = h^j, \quad \sigma \theta = q \quad (4.2)$$

уравнение (4.1) преобразуется к одной из приведенных форм

$$-\rho(\partial_t \psi + s \partial_t \theta) + t^{ij} \partial_i \epsilon_{ij} + \mu_{\cdot k}^{[-1]} \partial_{\cdot k} \kappa_{\cdot i}^{[+1]} - \theta^{-1} h^j \nabla_j \theta = \rho \xi \theta \quad (4.3)$$

Для необратимых термодинамических процессов справедливо следующее фундаментальное неравенство:

$$C \partial_t \theta + A^{ij} \partial_i \epsilon_{ij} + B_{\cdot k}^{[-1]} \partial_{\cdot k} \kappa_{\cdot i}^{[+1]} + \theta^{-1} h^j \nabla_j \theta = -\rho \xi \theta \leq 0 \quad (4.4)$$

где

⁷ Например за счет лучистого тепла (radian heat).

$$\begin{aligned}
 C &= \rho \frac{\partial \bar{\Psi}}{\partial \theta} + \rho \bar{s} \\
 A^{ij} &= \rho \frac{\partial \bar{\Psi}}{\partial \epsilon_{ij}} - t^{ij} \\
 B^{[+1]_i}_{\cdot k} &= \rho \frac{\partial \bar{\Psi}}{\partial \kappa^{[+1]}_i} - \mu^{[-1]_i}_{\cdot k}
 \end{aligned} \tag{4.5}$$

Откуда следуют определяющие соотношения

$$\begin{aligned}
 \bar{s} &= -\frac{\partial \bar{\Psi}}{\partial \theta} \\
 t^{ij} &= \rho \frac{\partial \bar{\Psi}}{\partial \epsilon_{ij}} \\
 \mu^{[-1]_i}_{\cdot k} &= \rho \frac{\partial \bar{\Psi}}{\partial \kappa^{[+1]}_i}
 \end{aligned} \tag{4.6}$$

$$J^j = \bar{J}^j (\nabla_k \ln \theta)$$

Для неконтролируемого производства энтропии справедливо уравнение

$$\rho \xi = -\theta^{-2} h^j \nabla_j \theta = -\theta^{-1} J^j \nabla_j \theta = -\bar{J}^j (\nabla_k \ln \theta) \nabla_j \ln \theta, \quad \inf \theta > 0 \tag{4.7}$$

На основании уравнения баланса энтропии (3.4) при учете (4.6) получаем нелинейное уравнение теплопроводности

$$\rho \frac{\partial \bar{s}}{\partial \epsilon_{ij}} \partial_i \epsilon_{ij} + \rho \frac{\partial \bar{s}}{\partial \kappa^{[+1]}_i} \partial_i \kappa^{[+1]}_i + \rho \frac{\partial \bar{s}}{\partial \theta} \partial_i \theta = -\theta^{-1} \nabla_j h^j + \theta^{-1} \rho q \tag{4.8}$$

Линеаризованную по базисным термодинамическим переменным, свободную энергию для микрополярного термоупругого континуума ГН-І можно принять в форме

$$2\rho \bar{\Psi} = H_1^{islm} \epsilon_{is} \epsilon_{lm} + H_2^{[-2]_i l.} \kappa^{[+1]_i}_{\cdot s} \kappa^{[+1]_s}_{\cdot m} + H_3^{isl.} \epsilon_{is} \kappa^{[-1]_s}_{l.} \kappa^{[+1]_s}_{l.} + G_1^{is} \epsilon_{is} \theta + G_2^{[-1]_i [+1]_s} \kappa^{[+1]_s}_{i.} \theta + F \theta^2 \tag{4.9}$$

Здесь H_1^{islm} , $H_2^{[-2]_i l.}$, $H_3^{isl.}$, G_1^{is} , $G_2^{[-1]_i [+1]_s}$, F – определяющие тензоры и псевдотензоры микрополярного термоупругого континуума ГН-І, $\theta \rightarrow \theta - \theta_0$ – малый температурный инкремент (считается малой первого порядка), θ_0 – референциальная температура. Веса определяющих псевдотензоров сведены в таблицу 1. Отметим, что $H_3^{isl.}$ и $G_2^{[-1]_i [+1]_s}$ являются определяющими псевдотензорами, чувствительными к преобразованиям зеркального отражения трехмерного пространства.

Для определяющих псевдотензоров H_1^{islm} , $H_2^{[-2]_i l.}$ справедливы условия симметрии

$$H_1^{islm} = H_1^{lmis}, \quad H_2^{[-2]_i l.} = H_2^{l-i \cdot s}$$

Воспользовавшись определяющими соотношениями (4.6), в итоге получим

$$\begin{aligned}
t^{is} &= H_1^{islm} \epsilon_{lm} + \frac{1}{2} H_2^{isl} \kappa_l^m + \frac{1}{2} G^{is} \theta \\
\mu_{-s}^i &= H_2^{-i} \cdot \kappa_l^m + \frac{1}{2} H_3^{-i} \epsilon_{lm} + \frac{1}{2} G_{-s}^i \theta \\
2\rho \bar{s} &= -G_1^{is} \epsilon_{is} - G_2^{i-s} \kappa_{i-s} - 2F\theta \\
h^i &= -G_3^{is} \nabla_s \theta
\end{aligned} \tag{4.10}$$

5. Линейный гемитропный микрополярный термоупругий континуум. Полученная энергетическая форма (4.9) используется, как правило, при построении моделей гемитропных микрополярных упругих континуумов. Определяющие тензоры и псевдотензоры для линейного гемитропного микрополярного упругого континуума нечувствительны к поворотам координатного репера, поэтому для них будут справедливы следующие координатные представления⁸

$$H_1^{islm} = a_1 g^{is} g^{lm} + b_1 g^{il} g^{sm} + c_1 g^{im} g^{sl}$$

$$\begin{aligned}
H_2^{islm} &= a_2 g^{is} g^{lm} + b_2 g^{il} g^{sm} + c_2 g^{im} g^{sl} \\
H_3^{islm} &= a_3 g^{is} g^{lm} + b_3 g^{il} g^{sm} + c_3 g^{im} g^{sl} \\
G_1^{is} &= g^{is} d_1, \quad G_2^{is} = g^{is} d_2, \quad G_3^{is} = g^{is} d_3
\end{aligned} \tag{5.1}$$

Здесь $a_\alpha, b_\alpha, c_\alpha, d_\alpha$ ($\alpha = 1, 2, 3$; $g = 0, -1, -2$) – двенадцать определяющих псевдоскаляры гемитропного микрополярного термоупругого тела GN-I. Метаиндекс α – нумерует определяющие псевдоскаляры. С точки зрения тензорной алгебры $a_\alpha, b_\alpha, c_\alpha, d_\alpha$, как минимум, являются полуизотропными инвариантами.

Подставив координатные представления (5.1) в определяющие соотношения (4.10), получим

$$\begin{aligned}
t^{is} &= (a_1 g^{is} g^{lm} + b_1 g^{il} g^{sm} + c_1 g^{im} g^{sl}) \epsilon_{lm} + \\
&+ \frac{1}{2} (\frac{-1}{3} a_3 g^{is} g^{lm} + \frac{-1}{3} b_3 g^{il} g^{sm} + \frac{-1}{3} c_3 g^{im} g^{sl}) \kappa_{lm} + \frac{1}{2} d_1 \theta g^{is} \\
\mu^{is} &= (\frac{-2}{2} a_2 g^{is} g^{lm} + \frac{-2}{2} b_2 g^{il} g^{sm} + \frac{-2}{2} c_2 g^{im} g^{sl}) \kappa_{lm} + \\
&+ \frac{1}{2} (\frac{-1}{3} a_3 g^{is} g^{lm} + \frac{-1}{3} b_3 g^{il} g^{sm} + \frac{-1}{3} c_3 g^{im} g^{sl}) \epsilon_{lm} + \frac{1}{2} d_2 \theta g^{is}
\end{aligned} \tag{5.2}$$

⁸ Подразумевается использование произвольной координатной криволинейной сетки. Алгоритм представления тензоров с постоянными коэффициентами подробно описан в монографиях (см. [22, с. 167], [32, с. 70], [33, с. 445]) и работах [34, 35].

$$2\rho\bar{s} = -g_1^{is} d\epsilon_{is} - g_2^{is} \frac{[-1][+1]}{2} \kappa_{is} - 2F\theta$$

$$h_i = -d\frac{[-1]}{3} \nabla_i \theta.$$

Вместо определяющих псевдоскаляров a, b, c, d можно перейти к конвенциональным определяющим псевдоскалярам, таким как: G — модуль сдвига; v — коэффициент Пуассона; L — характерная микродлина; $c_1, c_2, c_3, c_4, c_5, c_6$ — не имеющие физической размерности псевдоскаляры; α — коэффициент линейного теплового расширения; β — коэффициент теплового изгиба—кручения; λ — коэффициент теплопроводности; c — теплоемкость на единицу массы при $\epsilon_{is} = 0$ (см. [36, 37]). В этом случае характерная микродлина L будет псевдоскаляром отрицательного веса -1 .

Сравнивая (5.2) с аналогичными формулами в [37, формулы (2.12)]:

$$\begin{aligned} A_1 &= Gv(1-2v)^{-1}, & A_2 &= \frac{[-2]}{G} L \frac{[-1]}{L} c_3, & A_3 &= G \\ A_4 &= G \frac{[-2]}{L} \frac{[-1]}{L}, & A_5 &= 2G \frac{[-2]}{c_1}, & A_6 &= 2G \frac{[-1]}{L} \frac{[-1]}{L} c_2 \\ A_7 &= G \frac{[-1]}{L} c_4, & A_8 &= G \frac{[-1]}{L} c_5, & A_9 &= G \frac{[-1]}{L} c_6 \end{aligned} \quad (5.3)$$

для безразмерных определяющих псевдоскаляров удобно ввести новые обозначения

$$\begin{aligned} c_1 &= \frac{[-2]}{c}, & c_2 &= \frac{[-2]}{c}, & c_3 &= c_3 \\ c_4 &= 2c_6, & c_5 &= 2c_4, & c_6 &= -4c_5 \end{aligned} \quad (5.4)$$

Подставляя (5.4) в (5.3), получим

$$\begin{aligned} A_1 &= Gv(1-2v)^{-1}, & A_2 &= \frac{[-2]}{G} L \frac{[-1]}{L} c_3, & A_3 &= G \\ A_4 &= G \frac{[-2]}{L} \frac{[-1]}{L}, & A_5 &= 2G \frac{[-2]}{c_1}, & A_6 &= G \frac{[-1]}{L} \frac{[-1]}{L} c_2 \\ A_7 &= 2G \frac{[-1]}{L} c_6, & A_8 &= 2G \frac{[-1]}{L} c_4, & A_9 &= -4G \frac{[-1]}{L} c_5 \end{aligned} \quad (5.5)$$

откуда, учитывая определяющие уравнения (5.2), можно установить

$$\begin{aligned} a_1 &= 2A_1, & b_1 + c_1 &= 2A_3, & b_1 - c_1 &= e^2 \frac{[-2]}{A_5} \\ a_2 &= 2A_2, & b_2 + c_2 &= 2A_4, & b_2 - c_2 &= e^{-2} \frac{[-2]}{A_6} \\ a_3 &= 2A_7, & b_3 + c_3 &= 2A_8, & b_3 - c_3 &= -\frac{[-1]}{A_9} \end{aligned} \quad (5.6)$$

Подставляя (5.5) в (5.6) и выражая a, b, c , в итоге получим

$$a_1 = 2Gv(1-2v)^{-1}, \quad b_1 = G(1 + e^2 \frac{[-2]}{c_1}), \quad c_1 = G(1 - e^2 \frac{[-2]}{c_1})$$

Таблица 1. Веса определяющих тензоров и псевдотензоров связанный термоупругой гемитропной среды

Терминологическое обозначение	Символьное обозначение	Вес	Преобразование к абсолютному тензору
определяющий тензор i (first constitutive tensor)	H_1^{islm}	0	
определяющий псевдотензор ii (second constitutive pseudotensor)	$H_2^{i.l.s.m}$	-2	$H_2^{i.l.s.m} = e^2 H_2^{[-2] i.l.s.m}$
определяющий псевдотензор iii (third constitutive pseudotensor)	$H_3^{isl...m}$	-1	$H_3^{isl...m} = e^{[-1]} H_3^{isl...m}$
определяющий тензор iv (firth constitutive tensor)	G_1^{is}	0	
определяющий псевдотензор v (fifth constitutive pseudotensor)	$G_2^{i.s}$	-1	$G_2^{i.s} = e^{[-1]} G_2^{i.s}$
определяющий скаляр vi (sixth constitutive scalar)			

$$\begin{aligned} \underline{a}_2^{[-2]} &= 2G \underline{L}^{[-1]} \underline{L}^{[-1]} \underline{c}_3, & \underline{b}_2^{[-2]} &= G \underline{L}^{[-1]} \underline{L}^{[-1]} (1 + e^{-2}) \underline{c}_2^{[+2]} \\ \underline{c}_2^{[-2]} &= G \underline{L}^{[-1]} \underline{L}^{[-1]} (1 - e^{-2}) \underline{c}_2^{[+2]}, & \underline{a}_3^{[-1]} &= 4G \underline{L}^{[-1]} \underline{c}_6 \\ \underline{b}_3^{[-1]} &= 2G \underline{L}^{[-1]} (\underline{c}_4 - \underline{c}_5), & \underline{c}_3^{[-1]} &= 2G \underline{L}^{[-1]} (\underline{c}_4 + \underline{c}_5) \end{aligned} \quad (5.7)$$

$$\underline{d}_1 = -4G \frac{1+\nu}{1-2\nu} \alpha, \quad \underline{d}_2^{[-1]} = -4G \underline{L}^{[-1]} \underline{L}^{[-1]} \underline{\beta}_*^{[+1]}, \quad \underline{d}_3 = k, \quad F = -\frac{\rho c}{\theta_0}$$

Принимая обозначения для определяющих постоянных

$$c'_4 = c_4 + \frac{1}{2}c_5 + \frac{1}{4}c_6, \quad c'_5 = \frac{1}{2}c_5 - \frac{1}{4}c_6, \quad c'_6 = -c_6 \quad (5.8)$$

или, с учетом (5.4)

$$c'_4 = 2c_6 + c_4 - c_5, \quad c'_5 = c_4 + c_5, \quad c'_6 = 4c_5 \quad (5.9)$$

уравнение теплопроводности и динамические уравнения можно представить в окончательной форме

$$\begin{aligned} G[(1 + e^2 \underline{c}_1) \nabla^s \nabla_s u^i + (1 - e^2 \underline{c}_1 + 2\nu(1 - 2\nu)^{-1}) \nabla^i \nabla_k u^k + 2 \underline{c}_1^{[-2]} \epsilon^{ikl} \nabla_k \phi_l] + \\ + L c'_4 \nabla^i \nabla_k \phi_l^{[+1] k} + L c'_5 \nabla^k \nabla_k \phi_l^{[+1] i}] - 2G \alpha \frac{1+\nu}{1-2\nu} \nabla_i \theta = -\rho(f^i - \partial_i u^i) \end{aligned}$$

$$\begin{aligned}
& G \overset{[-1]}{L} \overset{[-1]}{L} \left[\left(1 + \frac{1}{e^2} \overset{[+2]}{\mathbf{c}_2} \right) \nabla^s \nabla_s \overset{[+1]}{\phi}_i + \left(1 - \frac{1}{e^2} \overset{[+2]}{\mathbf{c}_2} + 2\mathbf{c}_3 \right) \nabla_i \nabla_k \overset{[+1]}{\phi}_k + \right. \\
& \quad \left. + \overset{[-1]}{L} \overset{-1}{c'_4} \nabla_i \nabla^k u_k + \overset{[-1]}{L} \overset{-1}{c'_5} \nabla^k \nabla_k u_i + \overset{[-1]}{L} \overset{-1}{c'_6} \epsilon_{isl} \nabla^s \overset{[+1]}{\phi}_l \right] - \\
& - 2eG \overset{[-2]}{\mathbf{c}}_1 (2 \overset{[+1]}{\phi}_i - e^2 \epsilon_{ikl} g^{ks} \nabla_s u^l) - 2G \overset{[-1]}{L} \overset{[-1]}{L} \overset{[+1]}{\beta} \nabla_i \theta = -\rho (\overset{[-1]}{l}_i - \overset{[-2]}{\mathfrak{I}} \partial_{..} \overset{[+1]}{\phi}_i) \\
& \nabla_s \nabla^s \theta - \frac{\rho p}{\lambda} \partial_s \theta - 2G \alpha \frac{1 + \nu}{1 - 2\nu} \frac{\theta_0}{\lambda} \nabla_s \partial_s u^s - 2G \overset{[-1]}{L} \overset{[-1]}{L} \overset{[+1]}{\beta} \frac{\theta_0}{\lambda} \nabla_s \partial_s \overset{[+1]}{\phi} + \frac{\rho q}{\lambda} = 0
\end{aligned}$$

где f_i – вектор массовых сил, \mathfrak{I} – момент микроинерции, l_i – вектор массовых моментов.

Заключение. В настоящей статье рассмотрен сравнительно новый подход к математическому моделированию связанный термоупругой гемитропной среды.

1. Предложены новые подходы к построению энергетических форм и уравнений механики микрополярной термоупругости.

2. Получены уравнение теплопроводности и динамические уравнения гемитропного микрополярного термоупругого ГН-І континуума в псевдотензорной формулировке.

3. Использовались общие термодинамические принципы неравновесной термодинамики.

4. Анизотропные определяющие псевдотензоры в представлении квадратичной энергетической формы включают: 3 псевдотензора четвертого ранга, 3 псевдотензора второго ранга и один абсолютный скаляр.

5. Анизотропная энергетическая форма редуцировалась к гемитропной с помощью специальных координатных представлений для определяющих псевдотензоров.

6. Рассмотрены различные варианты определяющих скаляров и псевдоскаляров, в том числе, конвенциально используемые материальные псевдоскаляры: модуль сдвига, коэффициент Пуассона, характерная микродлина (являющаяся псевдоскаляром отрицательного веса, чувствительным к отражениям трехмерного пространства), коэффициент линейного теплового расширения; коэффициент теплового искажения, коэффициент теплопроводности, теплоемкость на единицу массы и псевдоскаляры, не имеющие физической размерности.

Благодарности. Исследование выполнено за счет гранта Российского научного фонда (проект № 23-21-00262).

СПИСОК ЛИТЕРАТУРЫ

1. Turpin J.P., Bossard J.A., Morgan K.L. et al. Reconfigurable and tunable metamaterials: a review of the theory and applications // Int. J. Antennas Propag. 2014. V. 2014. P. 429837.
<https://doi.org/10.1155/2014/429837>
2. Giorgio I., Hild F., Gerami E. et al. Experimental verification of 2D cosserat chirality with stretch-micro-rotation coupling in orthotropic metamaterials with granular motif // Mech. Res. Commun. 2022. P. 104020.
<https://doi.org/10.1016/j.mechrescom.2022.104020>
3. Reasa D.R., Lakes R.S. Nonclassical Chiral Elasticity of the Gyroid Lattice // Phys. Rev. Lett. 2020. V. 125. P. 205502.
<https://doi.org/10.1103/PhysRevLett.125.205502>
4. Askari M., Hutchins D.A., Thomas P.J. et al. Additive manufacturing of metamaterials: A review // Addit. Manuf. 2020. V. 36. P. 101562.
<https://doi.org/10.1016/j.addma.2020.101562>
5. Kovalev V.A., Murashkin E.V., Radayev Yu.N. Metamaterial models of continuum multiphysics // Труды международной школы-конференции молодых ученых “Механика 2016”. Цахкад-

- зор, Армения, 03–07 октября 2016. Ереван: Национальный университет архитектуры и строительства Армении, 2016. С. 160–163.
6. Ковалев В.А., Мурашкін Е.В. О принципе термомеханической ортогональности в проблемах моделирования сложных сред и метаматериалов // Вестн. Чувашского гос. пед. ун-та им. И.Я. Яковлева. Сер.: Мех. пред. сост. 2019. № 1(49). Р. 20–31.
<https://doi.org/10.26293/chgpu.2019.39.1.003>
7. Müller I., Ruggeri T. Rational extended thermodynamics. Berlin: Springer Science & Business Media, 2013. 411 p.
8. Truesdell C. Rational thermodynamics: a course of lectures on selected topics. New York: McGraw-Hill, 1969. 208+ix p.
9. Truesdell C., Toupin R. The classical field theories // Principles of Classical Mechanics and Field Theory / Ed. by S. Flügge. Berlin, Heidelberg: Springer, 1960. P. 226–858.
https://doi.org/10.1007/978-3-642-45943-6_2
10. Besdo D. Ein Beitrag zur nichtlinearen Theorie des Cosserat-kontinuums // Acta Mech. 1974. V. 20. № 1. P. 105–131.
<https://doi.org/10.1007/BF01374965>
11. Nowacki W. Theory of micropolar elasticity. Springer, 1972. 286 p.
<https://doi.org/10.1007/978-3-7091-2720-9>
12. Nowacki W. Theory of asymmetric elasticity. Oxford: Pergamon Press, 1986. 383 p.
13. Розенфельд Б.А. Многомерные пространства. М.: Наука, 1966. 668 с.
14. Радаев Ю.Н., Мурашкін Е.В. Псевдотензорная формулировка механики гемитропных микрополярных сред // Проблемы прочности и пластичности. 2020. Т. 82. № 4. С. 399–412.
<https://doi.org/10.32326/1814-9146-2020-82-4-399-412>
15. Седов Л.И. Введение в механику сплошной среды. М.: Физматгиз, 1962. 592 с.
16. Landau L.D., Lifshitz E.M. Теоретическая физика. Т. 5. Статистическая физика. Часть 1. М.: Физматлит, 2001. 616 с.
17. Радаев Ю.Н. Задачи и теоремы по курсу “Математическая теория пластичности”. Самара: Самарский гос. ун-т, 1996. 80 с.
18. Ковалев В.А., Радаев Ю.Н. Волновые задачи теории поля и термомеханика. Саратов: Изд-во Сарат. ун-та, 2010. 328 с.
19. Ковалев В.А., Радаев Ю.Н. Элементы теории поля: вариационные симметрии и геометрические инварианты. М.: Физматлит, 2009. 156 с.
20. Murashkin E.V., Radayev Yu.N. On a micropolar theory of growing solids // Вестн. Сам. гос. техн. ун-та. Сер. физ.-мат. науки. 2020. Т. 24. № 3. С. 424–444.
<https://doi.org/10.14498/vsgtu1792>
21. Kovalev V.A., Murashkin E.V., Radayev Yu.N. On the Neuber theory of micropolar elasticity. A pseudotensor formulation // Вестн. Сам. гос. техн. ун-та. Сер. физ.-мат. науки. 2020. Т. 24. № 4. С. 752–761.
<https://doi.org/10.14498/vsgtu1799>
22. Гуревич Г.Б. Основы теории алгебраических инвариантов. М., Л.: ГИТТЛ, 1948. 408 с.
23. Schouten J.A. Tensor Analysis for Physicist. Oxford: Clarendon Press, 1965. 434 p.
24. Sokolnikoff I. Tensor Analysis: Theory and Applications to Geometry and Mechanics of Continua. New York: John Wiley & Sons Inc., 1964. 361 p.
25. Synge J.L., Schild A. Tensor Calculus. Toronto: Toronto University Press, 1949. 334 p.
26. Veblen O., Thomas T.Y. Extensions of relative tensors // Trans. Am. Math. Society. 1924. V. 26. P. 373–377.
27. Veblen O. Invariants of Quadratic Differential Forms. Cambridge: The University Press, 1933. 102 p.
28. Мак-Конел А.Дж. Введение в тензорный анализ: С приложениями к геометрии, механике и физике. М.: Физматгиз, 1963. 411 с.
29. Konf A. Основы теории относительности Эйнштейна. М.: ГТТИ, 1933. 175 с.
30. Радаев Ю.Н. Пространственная задача математической теории пластичности. Самара: Самар. гос. ун-т, 2006. 340 р.
31. Мурашкін Е.В., Радаев Ю.Н. Алгебраический алгоритм систематического приведения одноточечных псевдотензоров к абсолютным тензорам // Вестн. Чувашского гос. пед. ун-та

- им. И.Я. Яковлева. Сер.: Мех. пред. сост. 2022. № 1(51). Р. 17–26.
<https://doi.org/10.37972/chgpu.2022.51.1.002>
32. Jeffreys H. Cartesian Tensors. Cambridge: Cambridge University Press, 1931. 101 p.
33. Лурье А.И. Нелинейная теория упругости. М.: Наука, 1980. 512 р.
34. Мурашкін Е.В., Радаев Ю.Н. Ковариантно постоянные тензоры в пространствах Евклида. Элементы теории // Вестн. Чувашского гос. пед. ун-та им. И.Я. Яковлева. Сер.: Мех. пред. сост. 2022. № 2(52). Р. 106–115.
<https://doi.org/10.37972/chgpu.2022.51.1.002>
35. Мурашкін Е.В., Радаев Ю.Н. Ковариантно постоянные тензоры в пространствах Евклида. Приложения к механике континуума // Вестн. Чувашского гос. пед. ун-та им. И.Я. Яковлева. Сер.: Мех. пред. сост. 2022. № 2(52). Р. 118–127.
<https://doi.org/10.37972/chgpu.2022.51.1.002>
36. Радаев Ю.Н. Правило множителей в ковариантных формулировках микрополярных теорий механики континуума // Вестн. Сам. гос. техн. ун-та. Сер. физ.-мат. науки. 2018. V. 22. № 3. Р. 504–517.
<https://doi.org/10.14498/vsgtu1635>
37. Мурашкін Е.В., Радаев Ю.Н. Об определяющих псевдоскалярах гемитропных микрополярных сред в инверсных координатных системах // Вестн. Сам. гос. техн. ун-та. Сер. физ.-мат. науки. 2021. Т. 25. № 3. С. 457–474.
<https://doi.org/10.14498/vsgtu1870>